

УДК 537.226

© 1992

**МНОГОФОНОННОЕ РЕЗОНАНСНОЕ КОМБИНАЦИОННОЕ
РАССЕЯНИЕ СВЕТА В КВАНТОВОЙ ЯМЕ
ПРИ РАВНЫХ ЭФФЕКТИВНЫХ МАССАХ ЭЛЕКТРОНА И ДЫРКИ**

Л. И. Коровин, С. Т. Павлов и Б. Э. Эшпулатов

Рассчитан процесс МРКРС в квантовой яме в случае равенства эффективных масс электрона и дырки. Показано, что по сравнению со случаем тяжелой дырки сечение возрастает в α^{-2} раз. Наряду с резким возрастанием интенсивности рассеянного света теория предсказывает исчезновение степенной зависимости сечения рассеяния света от константы электрон-фононной связи α .

Проведенные за последние годы экспериментальные исследования спектров многофононного резонансного комбинационного рассеяния света (МРКРС) в области фундаментального поглощения в массивных полупроводниках InBr [1–3] и InI [4] выявили две особенности этих спектров. Во-первых, наблюдается большое число линий N фононных повторений ($N > 20$) и, во вторых, интенсивность линий четного порядка значительно больше, чем интенсивность линий нечетного порядка.

Особенностью соединений InBr и InI является равенство эффективных масс электронов и дырок. Как показано в [5], для этих полупроводников сечение рассеяния σ_N четных порядков ($N = 4, 6, 8 \dots$) пропорционально первой степени константы связи Фрелиха электронов (дырок) с LO фононами α , тогда как в случае тяжелой дырки $\sigma_N \sim \alpha^3$ ($N > 4$) [6]. Речь идет о вкладе в величину сечения МРКРС электронно-дырочного механизма, при котором промежуточным состоянием являются свободные электронно-дырочные пары (ЭДП).

Известно также [7], что в случае $m_e \ll m_h$ (m_e и m_h — эффективные массы электрона и дырки соответственно) ограничение движения электронов вдоль одного из направлений (размерное квантование) приводит к резкому усилению интенсивности пиков МРКРС с участием свободных ЭДП по сравнению с рассеянием в объемном полупроводнике: в квазидвумерной системе $\sigma_N \sim \alpha^2$ (начиная с $N = 2$), тогда как в объемном случае $\sigma_N \sim \alpha^3$ [6] (начиная с $N = 4$).

Квазидвумерные электронные системы (инверсионный слой в структуре металл—диэлектрик—полупроводник; квантовая яма в гетероструктуре) являются удобными модельными системами, на которых можно исследовать особенности электрон-фононного взаимодействия при пониженной размерности пространства. Следует получить спектры МРКРС в квазидвумерной системе в случае равных масс электронов и дырок, так как здесь можно ожидать гораздо большего усиления эффекта, чем в объемном случае. Настоящая работа посвящена исследованию спектров МРКРС при равных эффективных массах электрона и дырки в квантовой яме, где движение электронов и дырок размерно квантовано. В качестве промежуточных состояний рассматриваются свободные ЭДП.

1. Исходные соотношения и постановка задачи. Энергия электрона (e) и дырки (h) в квантовой яме ширины d с бесконечно высокими потенциальными стенками в точках $z=0$ и $z=d$ определяются выражениями

$$\hbar\omega^{(e)} \equiv \hbar\omega^{(e)}(n_e, \mathbf{k}_e) = \hbar\omega_{0e} n_e^2 + \frac{\hbar^2 k_e^2}{2m_e}, \quad \omega_{0e} = \frac{\hbar\pi^2}{2m_e d}, \quad (1)$$

$$\hbar\omega^{(h)} \equiv \hbar\omega^{(h)}(n_h, \mathbf{k}_h) = \hbar\omega_g + \hbar\omega_{0h} n_h^2 + \frac{\hbar^2 k_h^2}{2m_h}, \quad \omega_{0h} = \frac{\hbar\pi^2}{2m_h d^2}. \quad (2)$$

Здесь n_e и n_h — числа, нумерующие уровень размерного квантования соответственно в зоне проводимости и в валентной зоне, $\mathbf{k}_{e(h)}$ — двумерный волновой вектор электрона (дырки), $E_g = \hbar\omega_g$ — ширина запрещенной зоны. Волновые функции электрона и дырки имеют вид

$$\psi_e = (2/S_0 d)^{1/2} \exp(i\mathbf{k}_e \mathbf{r}) \sin(\pi n_e z/d) u_e(\mathbf{r}, z), \quad (3)$$

$$\psi_h = (2/S_0 d)^{1/2} \exp(i\mathbf{k}_h \mathbf{r}) \sin(\pi n_h z/d) u_h(\mathbf{r}, z), \quad (4)$$

где \mathbf{r} — двумерный вектор в плоскости (x, y) , S_0 — нормировочная площадь, u_e и u_h — блоховские амплитуды в зоне проводимости и в валентной зоне. Ниже учитывается взаимодействие только с объемными LO фононами, оператор взаимодействия которых с электронами имеет вид

$$H_{int}^{(e)} = \sum_{n,n'} \sum_{\mathbf{k}, \mathbf{Q}} \{ C_Q^{(e)} M_{nn'}(q_z) b_{\mathbf{q}} + \text{э. с.} \} a_{n' \mathbf{k}}^+ a_{n' \mathbf{k}-\mathbf{q}}, \quad (5)$$

где

$$M_{nn'}(q_z) = \frac{2}{d} \int_0^d dz \exp(iq_z z) \sin(\pi n z/d) \sin(\pi n' z/d), \quad (6)$$

$$C_Q^{(e)} = -i\hbar\omega_{L0} (4\pi\alpha l^3/V)^{1/2} (lQ)^{-1}, \quad l = (\hbar/2m_e\omega_{L0})^{1/2}, \quad (7)$$

$b_Q^+(b_Q)$ — оператор рождения (уничтожения) фона на с волновым вектором $\mathbf{Q} = (\mathbf{q}, q_z)$, \mathbf{q} — двумерный вектор, ω_{LO} частота LO фона, V — нормировочный объем. Гамильтониан взаимодействия дырок с LO фононами H_{int}^h получается из (5) заменой $(a_i^+, a_i^- \rightarrow c_i^+ c_i^-)$ и $C_Q^h \rightarrow C_Q^h = C_Q^{*\dagger} = -C_Q^e$ (a_i^+, a_i^- , c_i^+ , c_i^- — электронные и дырочные операторы соответственно). На рис. 1 схематически изображен процесс МРКРС второго порядка ($N=2$) с участием свободных электронов и дырок в качестве промежуточных состояний в случае $m_e = m_h$. Посредством прямого перехода свет частоты ω_l рождает ЭДП, а затем электрон и дырка испускают по одному фону LO и аннигилируют прямым образом, испуская рассеянный световой квант $\hbar\omega_s$. Возможен и другой процесс — испускание обоих фононов электроном или дыркой, но эти процессы дают меньший вклад в сечение ИРКРС, поскольку они обязательно включают один непрямой переход — непрямое рождение ЭДП или непрямую аннигиляцию, как в случае объемного полупроводника [5].

Рис. 1. Схематическое изображение процесса, дающего наибольший вклад в сечение МРКРС второго порядка ($N = 2$) в случае равных масс электрона и дырки.

Пунктирными стрелками показаны неучтенные переходы с изменением квантового числа n . Сплошные стрелки обозначают переход с испусканием фона в зоне с $n = 1$.

Вклад процесса, изображенного на рис. 1, вычислен с использованием модели и диаграммной техники, описанной в [7]. Сечение рассеяния света выражается через тензор рассеяния света четвертого ранга следующим образом:

$$\frac{d^2\sigma}{d\omega_s d\Omega} = \sum_{\beta\beta'\gamma\gamma'} G_{\beta'\beta}(\omega_s) S_{\beta\gamma\beta'\gamma'}(\omega_1, \omega_s) I_{\gamma\gamma'}(\omega_1). \quad (8)$$

Тензоры второго ранга $G_{\beta'\beta}$ и $I_{\gamma\gamma'}$ определяются геометрией рассеянной и падающей волн, Ω — телесный угол, индексы β, γ, β' и γ' пробегают значения x, y, z . Тензоры $G_{\beta'\beta}$ и $I_{\gamma\gamma'}$ ниже не конкретизируются.

2. Вычисление тензора рассеяния света. Двухфононному процессу МРКРС, изображеному на рис. 1, соответствует диаграмма, на которой одна фононная линия связывает точки на электронной линии, а другая — дырочной линии (рис. 2). Эта диаграмма дает наибольший вклад в сечение. Вклад этой диаграммы в тензор рассеяния света $S_{\beta\beta'\gamma\gamma'}^{(2)}$ после интегрирования по свободным частотам ω и ω' имеет вид

$$S_{\beta\beta'\gamma\gamma'}^{(2)} = (S_0 \hbar^2 \omega_s^2 \omega_1^2)^{-1} \hbar^{-4} I_\gamma I_\beta I_{\beta'} I_{\gamma'} \delta(\omega_1 - \omega_s - 2\omega_{LO}) \times \\ \times \sum_{\mathbf{k}_0 \mathbf{k}_1 \mathbf{p}} |C_{\mathbf{k}_0 - \mathbf{k}_1}|^2 |C_{\mathbf{k}_1 - \mathbf{k}_0}|^2 A(\mathbf{k}_0, \mathbf{k}, \mathbf{p}) A^*(\mathbf{k}_0, \mathbf{k}, -\mathbf{p}), \quad (9)$$

где

$$I_\gamma = (e/m_0) P_{cv}^\gamma, \quad (9a)$$

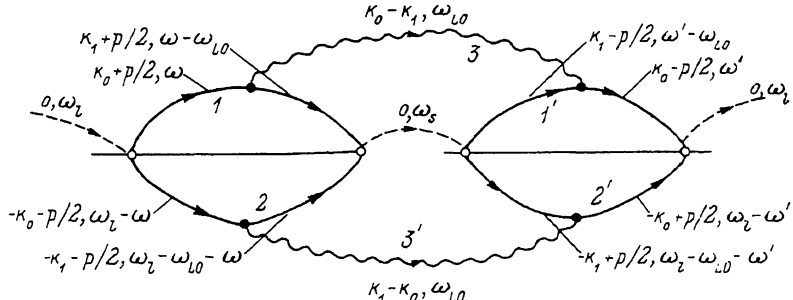


Рис. 2. Диаграмма, соответствующая процессу рассеяния света, изображеному на рис. 1 для тензора рассеяния света 4-го ранга.

Линии: 1, 1' — электронные, 2, 2' — дырочные, 3, 3' — фононные.

e , m_0 — заряд и масса свободного электрона; P_{cv}^y — проекция межзонного матричного элемента импульса: ω_i , ω_s — частоты возбуждающего и рассеянного света. Величина $A(\mathbf{k}_0, \mathbf{k}, \mathbf{p})$, входящая в (9), имеет смысл амплитуды рассеяния и имеет вид

$$A(\mathbf{k}_0, \mathbf{k}_1, \mathbf{p}) = A_1(\mathbf{k}_0, \mathbf{k}_1, \mathbf{p}) + A_2(\mathbf{k}_0, \mathbf{k}_1, \mathbf{p}), \quad (10)$$

где A_1 и A_2 — вклады, соответствующие графикам, схематически изображенным на рис. 3, и равные соответственно

$$A_1 = [(a_1 + b_1)(a_2 + b_1)(a_2 + b_2)]^{-1}, \quad (11)$$

$$A_2 = [(a_1 + b_1)(a_1 + b_2)(a_2 + b_2)]^{-1},$$

где

$$a_1 = \omega_i - E_g / \hbar - \omega_e(\mathbf{k}_0 + \mathbf{p}/2) + i\gamma_e(\mathbf{k}_0 + \mathbf{p}/2)/2,$$

$$a_2 = \omega_i - E_g / \hbar - \omega_e(\mathbf{k}_1 + \mathbf{p}/2) + i\gamma_e(\mathbf{k}_1 + \mathbf{p}/2)/2 - \omega_{LO},$$

$$b_1 = -\omega_b(\mathbf{k}_0 + \mathbf{p}/2) + i\gamma_b(\mathbf{k}_0 + \mathbf{p}/2)/2,$$

$$b_2 = -\omega_b(\mathbf{k}_1 + \mathbf{p}/2) + i\gamma_b(\mathbf{k}_1 + \mathbf{p}/2)/2 - \omega_{LO}, \quad (12)$$

$$E_g' = E_g + \hbar\omega_o\mu, \quad \omega_{op} = \pi^2\hbar/2\mu d, \quad \mu^{-1} = m_e^{-1} + m_b^{-1}. \quad (12a)$$

Частоты $\omega_e(\mathbf{k})$ и $\omega_b(\mathbf{k})$ соответствуют свободному движению электрона и дырки в плоскости квантовой ямы:

$$\omega_e(\mathbf{k}) = \hbar k^2 / 2m_e$$

$$\omega_b(\mathbf{k}) = \hbar k^2 / 2m_b. \quad (13)$$

Согласно «правилам сечений», каждый из трех множителей вида $a_i + b_j$ в выражениях для амплитуд A_1 и A_2 сопоставляется одному из трех вертикальных сечений, показанных на рис. 3:

$$a_i + b_j = \omega_i - \hbar^{-1}E_{\text{полн.}} + i\gamma_{\text{полн.}}/2, \quad (14)$$

где $E_{\text{полн.}}$ — полная энергия электрона на уровне размерного квантования n , отсчитанная от основного состояния, $\gamma_{\text{полн.}}$ — полное обратное время жизни ЭДП в этом состоянии. Например, первому слева сечению в A_1 и A_2 сопоставляются соответственно выражения:

$$\hbar^{-1}E_{\text{полн.}}^1 = \hbar E_g^1 + \omega_e(\mathbf{k}_0 + \mathbf{p}/2) + \omega_b(\mathbf{k}_0 + \mathbf{p}/2),$$

$$\hbar^{-1}\gamma_{\text{полн.}}^1 = \gamma_e(\mathbf{k}_0 + \mathbf{p}/2) + \gamma_b(\vec{\mathbf{k}}_0 + \vec{\mathbf{p}}/2). \quad (15)$$

В дальнейшем рассматривается низшая зона размерного квантования с квантовым числом $n = 1$, переходы в зоны с другими n в результате испускания фонона не учитываются.

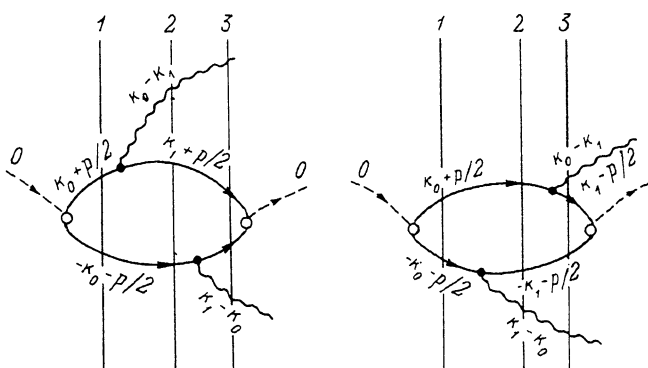


Рис. 3. Графики для амплитуды процесса РКПС второго порядка, дающие основной вклад в сечение рассеяния в случае равных эффективных масс электрона и дырки.

Вертикальные линии обозначают сечение графиков, порядковый номер сечения увеличивается слева направо (для A_1) и справа налево (для A_2).

Прежде чем приступить к интегрированию в формуле (9) по двумерным векторам k_0, \dots, k_1, p , отметим, что в сумме по абсолютной величине вектора p существенны малые значения порядка

$$p \approx \gamma m / \hbar \mathcal{K}, \quad m = m_e = m_b, \quad (16)$$

где \mathcal{K} — характерные значения волновых векторов электрона и дырки. Оценка (16) соответствует физическому смыслу вектора $\hbar p$. Он описывает неопределенность импульса относительного движения электрона и дырки и отличен от нуля ввиду того, что ЭДП в промежуточном состоянии сохраняет конечную площадь (в трехмерном случае сохраняется конечный объем [5]). Поскольку p мало, важно выяснить, к чему приводит в пределе $p \rightarrow 0$ равенство

$$\omega_i = \hbar^{-1} E_{\text{полн.}}, \quad (17)$$

когда, согласно (14), $a_i + b_i = (i/2)\gamma_{\text{полн.}}$ и соответствующий знаменатель становится малой величиной. Например, для амплитуды A_1 получим

$$\hbar^{-1} E_{\text{полн.}}^1 = \hbar^{-1} E_g' + \omega_e(k_0) + \omega_b(k_0), \quad (18)$$

$$\hbar^{-1} E_{\text{полн.}}^2 = \hbar^{-1} E_g' + \omega_{LO} + \omega_e(k_1) + \omega_b(k_0),$$

$$\hbar^{-1} E_{\text{полн.}}^3 = \hbar^{-1} E_g' + 2\omega_{LO} + \omega_e(k_1) + \omega_b(k_1).$$

Индексы у $E_{\text{полн.}}$ соответствуют номеру сечения, который возрастает слева направо (рис. 3). Используя последовательно равенства (17) для сечений с номерами 1 и 3, находим следующие значения модулей векторов k_0, k_1 в случае $m_e = m_b = m$:

$$\mathcal{K}_0 = (m\omega_{\text{нав}}/\hbar)^{1/2}, \quad \mathcal{K}_1 = [m(\omega_{\text{нав}} - 2\omega_{LO})/\hbar]^{1/2}, \quad (19)$$

где

$$\omega_{\text{нав}} = \omega_i - \hbar^{-1} E_g'. \quad (20)$$

Можно проверить, используя определения (11) и (12), что

$$A_1(\mathbf{k}_0, \mathbf{k}_1, \mathbf{p}) = A_2(\mathbf{k}_0, \mathbf{k}_1, \mathbf{p}), \quad (21)$$

и поэтому

$$A(\mathbf{k}_0, \mathbf{k}_1, \mathbf{p}) = 2A_1(\mathbf{k}_0, \mathbf{k}_1, \mathbf{p}). \quad (22)$$

Причина равного вклада диаграмм A_1 и A_2 , изображенных на рис. 3, состоит в том, что в случае $m_e = m_h$ замена электрона на дырку и наоборот, не меняет величину амплитуды рассеяния. В формулах (12) ввиду малости модуля \mathbf{p} можно считать, что

$$\gamma(\mathbf{k}_0 \pm \mathbf{p}/2) = \gamma(\mathcal{K}_0) = \gamma_0,$$

$$\gamma(\mathbf{k}_1 \pm \mathbf{p}/2) = \gamma(\mathcal{K}_1) = \gamma_1. \quad (23)$$

Для интегрирования по абсолютным величинам векторов \mathbf{k}_0 и \mathbf{k}_1 представим произведение $A_1 A_1^*$ в виде

$$\begin{aligned} & A_1(\mathbf{k}_0, \mathbf{k}_1, \mathbf{p}) A_1^*(\mathbf{k}_0, \mathbf{k}_1, -\mathbf{p}) = \\ &= [\omega_1 - E_g'/h - (h/m)(k_0^2 + k_0 p) + i\gamma_0]^{-1} \times \\ & \times [\omega_1 - E_g'/h - (h/m)(k_0^2 - k_0 p) - i\gamma_0]^{-1} \times \\ & \times [\omega_1 - h^{-1}E_g' - 2\omega_{LO} - (h/m)(k_1^2 + k_1 p) + i\gamma_1]^{-1} \times \\ & \times [\omega_1 - h^{-1}E_g' - 2\omega_{LO} - (h/m)(k_1^2 - k_1 p) - i\gamma_1]^{-1} \times \\ & \times [\omega_1 - h^{-1}E_g' - \omega_{LO} - (h/2m)(k_1^2 + k_1 p) + \\ & + i\gamma_1/2 - (h/2m)(k_0^2 + k_0 p) + i\gamma_0/2]^{-1} \times \\ & \times [\omega_1 - h^{-1}E_g' - \omega_{LO} - (h/2m)(k_1^2 - k_1 p) - \\ & - i\gamma_1/2 - (h/2m)(k_0^2 - k_0 p) - i\gamma_0/2]^{-1}. \end{aligned} \quad (24)$$

В формуле (24) использована малость вектора \mathbf{p} и опущены члены $\sim p^2$. Первые два множителя в (24) преобразуются в δ -функцию:

$$\begin{aligned} & [\omega_{\text{нац}} - \hbar k_0^2/m - \hbar k_0 p/m + i\gamma_0]^{-1} [\omega_{\text{нац}} - \hbar k_0^2/m + \hbar k_0 p/m - i\gamma_0]^{-1} = \\ &= \left\{ (\omega_{\text{нац}} - \hbar k_0^2/m)^2 + \left(\gamma_0 + \frac{i\hbar}{m} k_0 p \cos \theta_0 \right)^2 \right\}^{-1} = \\ &= 2\pi [\gamma_0 + (i\hbar/m) k_0 p \cos \theta_0]^{-1} \delta(\omega_{\text{нац}} - \hbar k_0^2/m). \end{aligned} \quad (25)$$

Аналогично третий и четвертый члены преобразуются к виду

$$\begin{aligned} & [\omega_1 - h^{-1}E_g' - 2\omega_{LO} - (h/m)(k_1^2 + k_1 p) + i\gamma_1]^{-1} \times \\ & \times [\omega_1 - h^{-1}E_g' - 2\omega_{LO} - (h/m)(k_1^2 - k_1 p) - i\gamma_1]^{-1} \simeq \\ & \simeq \frac{2\pi}{\gamma_1 + (i\hbar/m) k_1 p \cos \theta_1} \delta(\omega_{\text{нац}} - 2\omega_{LO} - \hbar k_1^2/m); \end{aligned} \quad (26)$$

$k_0 p = k_0 p \cos \theta_0$, $k_1 p = k_1 p \cos \theta_1$. Используя δ -функции для интегрирования по модулям векторов \mathbf{k}_0 и \mathbf{k}_1 , получим вклад в тензор рассеяния, соответствующий диаграмме на рис. 2.

$$S_{\beta\gamma\beta'\gamma'}^{(2)} = \frac{2}{\pi} (\hbar^2 \omega_s^2 \omega_i^2)^{-1} (S_0 m^6 / \hbar^{10}) I_\beta I_\gamma I_{\beta'} I_{\gamma'} \delta(\omega_i - \omega_s - 2\omega_{LO}) \times \\ \times \int \frac{d\theta_0}{2\pi} \int \frac{d\theta_1}{2\pi} \int \frac{dp}{2\pi} |C_{\mathbf{k}_0 - \mathbf{k}_1}|^2 |C_{\mathbf{k}_1 - \mathbf{k}_0}|^2 R(p); \quad (27)$$

$$R(p) = (Q_0^2 + iK_0 p) (Q_1^2 + iK_1 p) [Q_0^2 + Q_1^2 + i(K_0 + K_1)p]^{-1},$$

где под K_0 K_1 понимаются векторы с фиксированными модулями, величина которых определяется формулой (19).

$$Q_0^2 = my_0/\hbar, \quad Q_1^2 = my_1/\hbar. \quad (28)$$

θ_i — набор углов, определяющих направление векторов K_i ($i = 0, 1$). Приведенный подход эквивалентен интегрированию в комплексной плоскости k_0 (либо k_1), когда учитывается вклад только от полюса, расположенного в первой четверти комплексной плоскости, а интегралом по положительной части мнимой оси пренебрегается ввиду его малости по константе γ . Введем вместо вектора p безразмерную переменную интегрирования

$$x = \lambda_0 p, \quad (29)$$

где $\lambda_0 = \hbar K_0 / my_0$ — длина свободного пробега электрона или дырки с волновым вектором K_0 , ограниченная возможностью реального испускания LO фонара. Тогда получаем из (27)

$$S_{\beta\gamma\beta'\gamma'}^{(2)} = (\hbar^2 \omega_s^2 \omega_i^2)^{-1} \frac{\alpha^2}{2^3} \frac{m}{\hbar \omega_{LO}} I_\beta I_\gamma I_{\beta'} I_{\gamma'} \frac{\lambda_0^2}{p^2 (K_0)^6} \varphi, \quad (30)$$

где безразмерная величина φ определяется выражением

$$\varphi = \int \frac{d\theta_0}{2\pi} \int \frac{d\theta_1}{2\pi} |\mathbf{B}_0 - \mathbf{B}_1|^2 \int d\mathbf{x} \Phi(\mathbf{x}), \quad (31)$$

$$\mathbf{B}_0 = \mathbf{K}_0 / K_0, \quad \mathbf{B}_1 = \mathbf{K}_1 / K_1, \quad (32)$$

$$\Phi(\mathbf{x}) = (1 + i\mathbf{B}_0 \mathbf{x})^{-1} (\beta_1 + i\mathbf{B}_1 \mathbf{x})^{-1} [1 + \beta_1 + (\mathbf{B}_0 + \mathbf{B}_1) \mathbf{x}]^{-1}, \quad (33)$$

$$\beta = \gamma_1 / \gamma_0. \quad (34)$$

3. Анализ полученных результатов. Подынтегральная функция $\Phi(\mathbf{x})$ в (31) на больших x пропорциональна x^{-3} , т. е. интеграл сходится. Тем самым оправдано предположение о том, что главный вклад в величину интеграла вносит область значений $p \approx \lambda_0^1$. Из (30) следует, что сечение рассеяния не зависит от константы связи α , поскольку $\lambda_0 \approx \alpha^{-1}$. Зависимость $\sigma \approx \alpha^0$ сохраняется и для более высоких порядков $N = 4, 6, \dots$

Попытаемся объяснить физическую причину понижения степени фрелиховской константы связи α в выражении для сечения МРКРС в случае двумерной системы при $m_e = m_h$. Напомним, что в объемном полупроводнике в процессе МРКРС N -го порядка ($N > 4$), когда N из $N+1$ промежуточных состояний реальны, происходит реальное блуждание электрона по кристаллу. Сечение процесса МРКРС пропорционально вероятности возврата электрона в точку рождения ЭДП после испускания $N-1$ LO фонаров (тяжелая дырка остается в точке рождения ЭДП), что является необходимым условием аннигиляции ЭДП.

Вероятность возврата электрона в точку рождения ЭДП прямо пропорциональна кубу константы связи α , поэтому сечение $\sigma_N \sim \alpha^3$ для $N \geq 4$. Другими словами, для $N \geq 4$ характерный объем, занимаемый $V_{\text{ЭДП}}$, рожденной светом, после испускания нескольких LO фононов пропорционален кубу длины свободного пробега, а так как в полярных полупроводниках длина свободного пробега электрона пропорциональна первой степени α , то $V_{\text{ЭДП}} \sim \alpha^{-3}$, а вероятность аннигиляции ЭДП $\sim V_{\text{ЭДП}}^{-1} \sim \alpha^3$ (см. [6] и цитированную там литературу).

В случае квазидвумерных систем, как уже отмечалось, в процессе МРКРС N -го порядка ($N \geq 2$) N из $N+1$ промежуточных состояний реальны, и можно пользоваться приведенными выше качественными соображениями, связанными с реальным движением электрона по кристаллу. В квантовой яме движение электрона поперек ямы размерно квантовано, тогда как движение в плоскости ямы остается свободным, т. е. происходит квазидвумеризация движения электрона. Характер распределения по относительному расстоянию между электроном и дыркой различен поперек ямы (направление оси z) и в плоскости квантовой ямы (плоскость xy). Проекция вектора относительного расстояния между электроном и дыркой на плоскость ямы после испускания нескольких LO фононов пропорциональна длине свободного пробега, т. е. характерная площадь, занимаемая ЭДП, $S_{\text{ЭДП}} \sim \alpha^{-2}$, и при возрастании числа N испущенных фононов меняется только численно. Поперек квантовой ямы относительное положение электрона и дырки после испускания N фононов зависит только от числа испущенных фононов и номера размерно квантованного уровня, но не зависит от вероятности испускания LO фонона (а следовательно, и от α). Вероятность аннигиляции ЭДП $\sim S_{\text{ЭДП}}^{-1} \sim \alpha^2$. Другими словами, вероятность возврата электрона в точку рождения ЭДП после испускания $N-1$ фононов LO прямо пропорциональна квадрату константы связи, и, следовательно, $\sigma_N \sim \alpha^2$ для $N \geq 2$ [7].

В случае равных масс электрона и дырки число пар с равным нулю суммарным квазимпульсом, способных к излучательной рекомбинации, увеличивается в α^{-2} раз по сравнению со случаем тяжелой дырки. В объемном полупроводнике это приводит к росту сечения рассеяния в α^{-2} раз [5]. В квантующем магнитном поле, где движение электрона становится квазидисперсионным, предсказана зависимость $\sigma_N \sim \alpha^{-1}$ [8]. В квазидвумерных системах в случае тяжелых дырок $\sigma_N \sim \alpha^2$. По аналогии с объемным случаем возрастание сечения в α^{-2} раз приводит к зависимости $\sigma_N \sim \alpha^0 = 1$, т. е. степенная зависимость от константы связи исчезает. Таким образом, теория предсказывает резкое увеличение сечения рассеяния в квазидвумерных системах в случае равенства эффективных масс электрона и дырки.

Список литературы

- [1] Nakamura K., Ohno N., Ioshida M., Nakai I. // Sol State. Communs. 1980. V. 36. N 1. P. 211—214.
- [2] Ioshida M., Watanabe H., Ohno N., Mitsutaka H., Nakamura K., Nakai I. // J. Luminescence. 1984. V. 31/32. P. 488—490.
- [3] Ioshida M., Ohno N., Mitsutaka H., Nakamura K., Nakai I. // J. Phys. Soc. Jap. 1985. V. 54. N 7. P. 2754—2761.
- [4] Ohno N., Ioshida M., Nakamura K., Nakai I. // Sol. State Communs. 1985. V. 53. N 7. P. 569—572.
- [5] Ланг И. Г., Павлов С. Т., Сотолонго О. // ФТТ. 1990. Т. 32. № 11. С. 3453—3456.
- [6] Goltsev A. V., Lang I. G., Pavlov S. T., Bryzhina M. F. // J. Phys. C. Sol. State Phys. 1983. V. 16. N 21. P. 4221—4241.
- [7] Коровин Л. И., Павлов С. Т., Эшпулатов Б. Э. // Письма в ЖЭТФ. 1990. Т. 51. № 10. С. 516—517.
- [8] Белицкий В. И., Ланг И. Г., Павлов С. Т. // ФТТ. 1991. Т. 33. N 2. С. 517—520.